

# SIMULAÇÃO DE ESCOAMENTOS PROVOCADOS POR QUEBRA DE BARRAGEM PELAS ABORDAGENS HIDROSTÁTICA E NÃO-HIDROSTÁTICA

Leonardo Romero Monteiro y Edith Beatriz Camaño Schettini

Universidade Federal do Rio Grande do Sul, Brasil.

E-mail: leonardoromeromonteiro@gmail, bcamaño@iph.ufrgs.br

## Introdução

Modelos baseados no equacionamento de águas rasas (*Shallow Water Equation - SWE*) têm sido utilizados há décadas em temas relacionados a recursos hídricos. O seu equacionamento, também é denominado de “Saint-Venant bidimensional”, considera uma configuração 2D horizontal, em que a componente vertical da velocidade não é considerada. Diversos autores utilizam esta metodologia para estudos hidráulicos, como HEC-RAS (US Army Corps of Engineers, 2014), Delestre et al. 2014, Mungkasi e Roberts, 2014 e Reas e Deproost, 2003.

A grande maioria dos modelos de *SWE* utiliza a hipótese que a pressão total possui unicamente a parcela hidrostática, desconsiderado a pressão não hidrostática, proveniente das variações de velocidades. Alguns autores utilizam estes modelos para representar escoamentos provenientes de quebra de barragem (Xiong, 2011; Butt et al. 2013; Özdemir et al. 2013, US Army Corps of Engineers, 2014). Esta prática pode levar a resultados incoerentes, visto que o escoamento provocado por quebra de barragens é possui fortes gradientes verticais.

No presente artigo será realizada uma comparação entre os resultados de um código baseado em *SWE* com os resultados provenientes de um código baseado nas equações completas de Navier-Stokes. Para isso, será apresentado o código SuLi-LS, baseado nas equações de Navier-Stokes e da continuidade, em conjunto com o Método Level Set (Osher e Sethian, 1988). Os resultados do código SuLi-LS são comparados com os resultados do código HEC-RAS 5.0.3, para um caso de quebra de barragem que possui dados experimentais (Martin e Moyce, 1952), com o intuito realizar uma validação da metodologia baseada em *SWE* para representar este tipo de fenômeno.

## Metodologia matemática

As equações da Navier-Stokes e da continuidade são consideradas por

$$\frac{\partial u_i}{\partial t} + u_j \frac{\partial u_i}{\partial x_j} = -\frac{1}{\rho} \frac{\partial p}{\partial x_i} + \frac{1}{\rho} \frac{\partial}{\partial x_j} \left[ \mu \left( \frac{\partial u_i}{\partial x_j} + \frac{\partial u_j}{\partial x_i} \right) \right] + g_i$$

e

$$\frac{\partial u_j}{\partial x_j} = 0, \quad [2]$$

em que  $u_i$  são as componentes da velocidade,  $t$  é o tempo,  $x_i$  são as coordenadas espaciais,  $p$  é a pressão total,  $\mu$  é a viscosidade dinâmica,  $g_i$  é a aceleração da gravidade e  $\rho$  é a massa específica.

O código SuLi-LS utiliza o método de captura de interface, em que o ar e a água são representados no domínio computacional, necessitando-se representar a interface entre os dois fluidos. O movimento da interface é calculado pelo Método *Level Set* (Osher e Sethian, 1988) a partir de uma equação de advecção:

$$\frac{\partial \phi}{\partial t} + u_i \frac{\partial \phi}{\partial x_i} = 0, \quad [3]$$

em que  $\phi$  é a função distância com sinal, para o qual  $\phi = 0$  representa a interface,  $\phi < 0$  representa a presença de ar e  $\phi > 0$  representa a presença de água. Para efetivar a variação das propriedades físicas e manter a imiscibilidade dos fluidos, o método utiliza uma função Heaviside ( $I$ ):

$$I(\phi) = \begin{cases} 0 & \text{se } \phi < -\delta \Delta_g, \\ \frac{1}{2} \left[ 1 + \frac{\phi}{\delta \Delta_g} + \frac{1}{\pi} \sin \left( \frac{\pi \phi}{\delta \Delta_g} \right) \right] & \text{se } |\phi| \leq \delta \Delta_g, \\ 1 & \text{se } \phi > \delta \Delta_g. \end{cases} \quad [4]$$

em que  $\Delta_g$  é a discretização numérica característica da malha (neste caso,  $\Delta_g = (\Delta x + \Delta y + \Delta z)/3$ ) e  $\delta$  é a metade do número de células utilizadas para representar a variação suave da interface ( $\delta = 1,5$  é utilizado). A função Heaviside é utilizada para calcular a variação das propriedades físicas da forma

$$\rho = (1 - I)\rho_1 + I\rho_2 \quad \text{e} \quad \mu = (1 - I)\mu_1 + I\mu_2, \quad [5]$$

onde  $\rho_1$ ,  $\mu_1$ ,  $\rho_2$  e  $\mu_2$  são as propriedades físicas do ar e da água respectivamente. Ainda, na metodologia *Level Set* são utilizadas equações de reinicialização (Sussman et al., 1994) e uma modificação da equação de correção de volume, proposta por Son (2001), como

$$\frac{\partial \phi}{\partial \chi} + \text{sgn}(\phi_0) (|\nabla \phi| - 1) = 0, \quad [6]$$

e

$$\frac{\partial \phi}{\partial \chi} = \left( \frac{V_v - V_{v0}}{V_v} \right) |\nabla \phi|, \quad [7]$$

em que  $\chi$  é uma discretização espacial fictícia ( $\chi = 0,1\Delta_g$ ),  $\phi_0$  é a função distância com sinal não reinicializada,  $V_{v0}$  é o volume inicial que respeita a conservação de massa e  $V_v$  é o volume no tempo  $n+1$ , ainda não corrigido.

## Método numérico

O domínio computacional possui malha deslocada, em que a pressão, a viscosidade, a massa específica e as variáveis do método Level Set são posicionadas no centro da célula, enquanto que as velocidades são posicionadas no centro das faces da célula. O Método da Projecção (Chorin, 1968) é utilizado para o cálculo da equação de Navier-Stokes [1] e da continuidade [2].

O esquema numérico utilizado, para resolver as equações [1] e [2], é o *upwind* de segunda ordem. Nas células do contorno, utilizam-se esquemas centrados de segunda ordem em conjunto com células de contorno fantasmas (Watanabe e Mori, 2013). O avanço no tempo é calculado com o esquema Adams-Bashforth de segunda ordem, sendo que para o primeiro passo de tempo se utiliza o esquema de Euler explícito.

A equação de Poisson, obtida com o método da Projecção, é

$$\nabla \cdot \left( \frac{1}{\rho} \nabla p \right) = \frac{1}{\Delta t} \nabla \cdot \tilde{u}, \quad [8]$$

em que  $\tilde{u}$  é a velocidade não corrigida (calculada pelo método da Projecção). Esta equação é calculada pelo Método do Gradiente Conjugado Pré-condicionado (Hestenes, Stiefel, 1952).

As derivadas espaciais do método Level Set são calculadas utilizando um esquema *weighted essentially non-oscillatory* WENO de quinta ordem de precisão (Liu et al., 1994). A integração no tempo é calculada pelo método Time Variation Diminishing Runge-Kutta de terceira ordem (TVD RK3) (Gottlieb et al. 1998).

## Validação e resultado

Martin et al. (1952) descreveram um experimento do escoamento provocado por quebra de barragem que é amplamente utilizado para validar códigos que utilizam o método de captura da interface (Jahanbakhsh et al., 2007; Rezende et al, 2015). Em um primeiro momento, o código SuLi-LS será validado com o experimento. Não é possível validar os resultados do HEC-RAS diretamente com o experimento, porque a escala é muito pequena e não é possível utilizar o programa, devido a uma limitação no  $\Delta t$  mínimo ( $\Delta t_{\text{mínimo}} = 0,1\text{s}$ ).

O domínio computacional proposto para representar o experimento possui  $L_x = 5a$ ,  $L_y = a$  e  $L_z = 1,25a$ , em que  $a=0,05715\text{ m}$ . O volume de água que representa a barragem está no lado esquerdo do domínio e possui dimensão  $a^3$  e é liberado instantaneamente provocando o escoamento. A discretização numérica utilizada é  $\Delta x = \Delta y = \Delta z = a/20$  e  $\Delta t = 10^{-5}\text{s}$ .

Os resultados do código SuLi-LS, representam adequadamente a variação e tendência do posicionamento da frente do escoamento (Figura 1), podendo ser considerado como um código válido para representar este tipo de fenômeno. Outras características do escoamentos também foram validados.

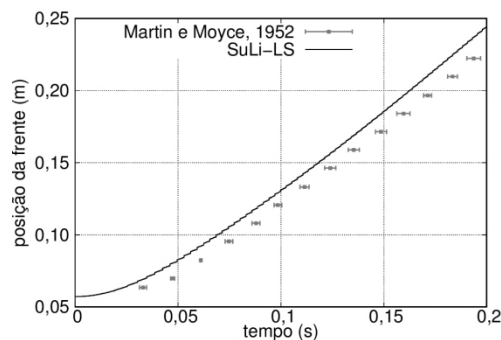


Figura 1.- Comparação entre posição da frente para o código SuLi-LS e o caso experimental (Martin e Moyce, 1952).

Desta forma, realizou-se uma simulação para o mesmo fenômeno, agora com  $a=5,715\text{m}$ , dimensão já possível de ser simulada sem instabilidades numéricas pelo HEC-RAS. Utilizando-se o módulo 2D do programa HEC-RAS, criou-se uma malha com  $\Delta x = \Delta y = a/20\text{m}$  e  $\Delta t = 10^{-1}\text{s}$ . A barragem foi representada por uma área de armazenamento (storage area), e utilizou-se a ferramenta de conexão entre áreas para se unir a área de armazenamento com o domínio com malha, onde é aplicado-se a SWE.

Para o código SuLi-LS manteve-se a mesma discretização espacial ( $a/20\text{m}$ ), porém com  $\Delta t = 10^{-3}\text{s}$ . Uma importante defasagem entre o código SuLi-LS e o modelo HEC-RAS foi observada que aumenta com o tempo (Figura 2).

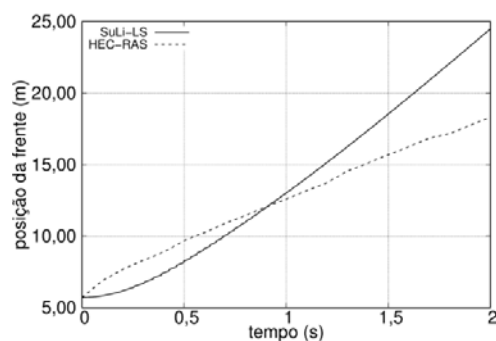


Figura 2.- Comparação entre posição da frente para o código SuLi-LS e o HEC-RAS para o caso ampliado.

Outras diferenças também foram observadas entre os dois modelos, mostrando que os códigos baseados em SWE devem ser utilizados com precaução ao serem utilizados para representar o fenômeno de escoamentos provocados por quebra de barragens, pois estes subestimam as velocidades máximas e a posição da frente da corrente.

## Referências bibliográficas

- Butt, M. J., M. Umar and R. Qamar (2013). "Landslide dam and subsequent dam-break flood estimation using HEC-RAS model in northern pakistan". *Natural hazards*, Vol. 65 No. 1 pp. 241-254.
- Chorin, A. J. (1968). "Numerical solution of the Navier-Stokes equations". *Mathematics of computation*, Vol. 22, No. 104, pp. 745-762.
- Delestre, O., S. Cordier, F. Darboux, M. Du, F. James, C. Laguerre, C. Lucas and O. Planchon (2014). "Fullswof: A software for overland flow simulation". *Proceedings of the Advances in Hydroinformatics*, Springer, pp. 221-231.
- Gottlieb, S. and C.-W. Shu (1998). "Total variation diminishing Runge-Kutta schemes". *Mathematics of computation of the American Mathematical Society*, Vol. 67, No. 221, pp. 73-85.
- Hestenes, M. R., and E. Stiefel. (1952). *Methods of conjugate gradients for solving linear systems* (Vol. 49, No. 1). Washington, DC: NBS.
- Jahanbakhsh, E., R. Panahi and M. Seif (2007). "Numerical simulation of three-dimensional interfacial flows". *International Journal of Numerical Methods for Heat & Fluid Flow*, Vol. 17 No. 4, pp. 384-404.
- Liu, X.-D., S. Osher and T. Chan (1994). "Weighted essentially non-oscillatory schemes". *Journal of computational physics*, Vol. 115, No. 1, pp. 200-212.
- Martin, J. and W. Moyce (1952). "Part v. an experimental study of the collapse of fluid columns on a rigid horizontal plane, in a medium of lower, but comparable, density". *Philosophical Transactions of the Royal Society of London A: Mathematical, Physical and Engineering Sciences*, Vol. 244, No. 882, pp. 325-334.
- Mungkasi, S. and S. Roberts (2013). "Validation of ANUGA hydraulic model using exact solutions to shallow water wave problems". *Proceedings of the Journal of Physics: Conference Series*, Vol. 423, IOP Publishing, pp. 012-029.
- Osher, S. and J. Sethian (1988). "Fronts propagating with curvature-dependent speed: algorithms based on hamilton-jacobi formulations". *Journal of Computational Physics*, Vol. 79, pp. 12-49.
- Özdemir, H. J., Neal, P. Bates and F. Döker (2013). "1-D and 2-D urban dam-break flood modeling in Istanbul, Turkey". *Geophysical Research Abstracts*, Vol. 16.
- Raes, D. and P. Deproost (2003). "Model to assess water movement from a shallow water table to the root zone". *Agricultural Water Management*, Vol. 62 No. 2 pp. 79-91.
- Rezende, R. V., R. A. Almeida, A. A. U. de Souza and S. M. G. U. Souza (2015). "A two-fluid model with a tensor closure model approach for free surface flow simulations". *Chemical Engineering Science*, Vol. 122, pp. 596-613.
- Son, G. (2001). "A numerical method for bubble motion with phase change". *Numerical Heat Transfer: Part B: Fundamentals*, Vol. 39, No. 5, pp. 509-523.
- Sussman, M., P. Smereka and S. Osher (1994). "A Level Set approach for computing solutions to incompressible two-phase flow". *Communications in Computational Physics*, Vol. 114, pp. 146-159.
- US Army Corps of Engineers (2016). *HEC-RAS River Analysis System: Hydraulic Reference Manual*. Hydrologic Engineering Center. University of Bristol, California, EUA.
- Watanabe, Y. and N. Mori (2013). *Computational Wave Dynamics*, World Scientific Publishing Co Inc, Ch. Fundamental Computational Methods, pp. 45-73.
- Xiong, Y. (2011). "A dam break analysis using HEC-RAS", *Journal of Water Resource and Protection*, Vol. 3 No. 06, p. 370.